

О МАЛЫХ КОЛЕБАНИЯХ ВЕРТИКАЛЬНОЙ ОСИ  
ВОЛЧКА, ИМЕЮЩЕГО ПОЛОСТЬ, ЦЕЛИКОМ НАПОЛНЕННУЮ  
ИДЕАЛЬНОЙ НЕСЖИМАЕМОЙ ЖИДКОСТЬЮ

A. Ю. Шилинский, M. E. Темченко

(Москва, Киев)

При выводе уравнений возмущенного движения волчка с осесимметрической полостью, целиком заполненной идеальной жидкостью, С. Л. Соболев [1] пользовался системами координат, не связанными с телом вращающегося волчка так, как это обычно принято в теории движения твердого тела. Ниже показывается, что исследование становится более простым и естественным, если движение заполняющей жидкости отнести к системе координат, связанный с самим телом полого волчка<sup>1</sup>. В частности, становится ясным, почему в случае эллипсоидальной полости волчок имеет не более трех критических скоростей своего вращения, а при цилиндрической — бесконечное множество.

Причина этого заключается в следующем. При стационарном движении из-за наличия исчезающей малой вязкости жидкость имеет распределение скоростей абсолютно твердого тела, вращающегося вместе с волчком. Малые колебания жидкости около этого стационарного движения могут быть представлены в виде наложения друг на друга бесконечного множества парциальных движений, каждому из которых соответствует своя обобщенная координата и своя совокупность сил гидродинамического воздействия на стенку полости.

Из-за несжимаемости жидкости и заполнения ею полости волчка центром тяжести массы жидкости не меняет своего расположения относительно тела волчка. Отсюда следует, что упомянутая совокупность сил сводится к паре, момент которой определяется параметрами соответствующего парциального движения жидкости. В ряде случаев момент этой пары может оказаться равным нулю. Так, например, будет для всех парциальных движений жидкости в сферической полости. Здесь влияние идеальной жидкости сводится лишь к увеличению тяжести волчка и его моментов инерции относительно осей, не проходящих через центр полости.

Как показывает исследование случая эллипсоидальной полости, гидродинамическое воздействие с моментом, отличным от нуля, создается единственным парциальным движением; все остальные возможные парциальные движения соответствующих моментов не создают вовсе.

Из результатов работы С. Л. Соболева, касающихся случая цилиндрической полости, следует, что здесь имеется бесконечное (счетное) множество парциальных движений с отличным от нуля моментом гидродинамического воздействия. До сих пор неизвестно, имеются ли такие формы полости (кроме эллипсоидальных), которым соответствовало бы конечное число парциальных движений с отличными от нуля моментами воздействия жидкости на волчок.

Каждому парциальному движению с отличным от нуля моментом соответствуют две дополнительные обобщенные координаты в системе волчок — жидкость, которые, однако, входят в уравнение лишь своими производными. Вследствие этого порядок характеристического уравнения совокупности дифференциальных уравнений движения системы в случае эллипсоидальной полости по существу увеличивается только на две единицы. В результате получается алгебраическое уравнение третьей степени относительно квадрата характеристического числа. В случае же цилиндрической полости соответствующее уравнение является трансцендентным.

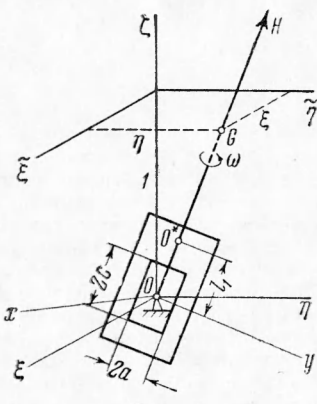
1°. Займемся вначале выводом дифференциальных уравнений движения твердого тела с жидким наполнением.

Введем неподвижную систему координат  $\xi, \eta, \zeta$ , начало которой поместим (фиг. 1) в точке опоры волчка  $O$ ; для удобства записей примем

<sup>1</sup> Настоящая работа относится к 1954 г.; ее результаты подтверждают выводы, приведенные в работе С. Л. Соболева, известной авторам по фондам Математического ин-та им. В. А. Стеклова АН СССР (1945 г.), см. также стр. 20 этого выпуска журнала. Авторам известно также интересное исследование по существу тех же вопросов с применением теории эрмитовых операторов в гильбертовом пространстве, произведенное С. Г. Крейном (1949 г.) в его докторской диссертации.

также, что центр полости волчка совпадает с точкой опоры. Ось  $\zeta$  этой системы направим вертикально вверх, а оси  $\xi$  и  $\eta$  расположим в горизонтальной плоскости. С волчком связем систему координат  $x, y, z$ , начало которой совпадает с началом неподвижной системы координат  $\xi, \eta, \zeta$ . Ось  $z$  этой системы направим по оси симметрии волчка, а оси  $x$  и  $y$  расположим в плоскости, перпендикулярной этой оси.

Построим на расстоянии, равном единице, от общего начала системы координат  $\xi$ ,  $\eta$ ,  $\zeta$  плоскость  $\xi\eta$ , перпендикулярную оси  $\zeta$  (фиг. 1) [2].



Фиг. 1

Обозначим буквами  $\xi$  и  $\eta$  координаты точки  $G$  пересечения с этой плоскостью вектора собственного кинетического момента волчка  $H$  (или, что то же, оси  $z$ ). При этом будем иметь в виду, что начало вектора  $H$  совпадает с началом системы координат  $\xi$ ,  $\eta$ ,  $\zeta$ . При движении волчка на него действуют сила тяжести и сила давления жидкости на стенку эллипсоидальной полости (и, конечно, сила реакции связи, проходящая через начало координат, т. е. точку  $O$ ). Соответственно линеаризированные уравнения его движения представляются в виде

$$\begin{aligned} A\ddot{\xi} + H\dot{\eta} - M_1 g l_1 \xi &= M_\eta \\ A\ddot{\eta} - H\dot{\xi} - M_1 g l_1 \eta &= -M_\xi \quad (1) \\ (A = A_1 + M_1 l_1^2, \quad H = C\omega) \end{aligned}$$

В этих уравнениях  $A_1$  — момент инерции оболочки волчка относительно оси (фиг. 1), проходящей через центр тяжести  $O^*$  волчка;  $M_1$  — масса оболочки волчка;  $l_1$  — расстояние от неподвижной точки  $O$  до центра тяжести оболочки волчка;  $C$  — момент инерции волчка относительно его оси динамической симметрии;  $\omega$  — угловая скорость собственного вращения волчка;  $g$  — ускорение силы тяжести;  $M_\xi$  и  $M_\eta$  — соответственно проекции на оси  $\xi$  и  $\eta$  главного момента сил давления жидкости на стенку полости.

Умножим второе уравнение системы (1) на  $i = \sqrt{-1}$  и сложим с первым. Тогда будем иметь уравнение, которое после введения комплексной функции  $\zeta^* = \xi + i\eta$  действительного переменного  $t$  преобразуется к следующему:

$$A\dot{\zeta}^* - iH\dot{\zeta}^* - M_1 g l_1 \zeta^* = -i(M_\xi + iM_\eta) \quad (2)$$

Из рассмотрения фиг. 2 следует, что между проекциями главного момента сил давления жидкости на стенку полости соответственно на неподвижные оси  $\xi$ ,  $\eta$  и на оси  $x$ ,  $y$ , связанные с волчком, имеют место соотношения

$$M_\xi = M_x \cos \varphi - M_y \sin \varphi, \quad M_\eta = M_x \sin \varphi + M_y \cos \varphi \quad (\varphi = \omega t) \quad (3)$$

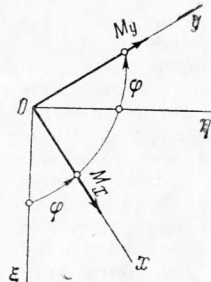
Учитывая последние равенства, уравнение движения волчка (2) можно представить в виде

$$A\ddot{\zeta}^* - iH\dot{\zeta}^* - M_1 g l_1 \zeta^* = -i(M_x + iM_y)e^{i\varphi} \quad (4)$$

2°. Обратимся к вычислению правой части уравнения (4). Имеем [3]

$$M_x = \iiint_y \left[ y \frac{\partial p^*}{\partial z} - z \frac{\partial p^*}{\partial y} \right] dx dy dz, \quad M_y = \iiint_z \left[ z \frac{\partial P^*}{\partial x} - x \frac{\partial p^*}{\partial z} \right] dx dy dz. \quad (5)$$

где  $p^*$  — гидродинамическое давление жидкости на стенку полости волчка.



Фиг. 2

Для определения давления  $p^*$  воспользуемся уравнениями [3] гидродинамики относительно подвижной системы координат  $x, y, z$

$$\begin{aligned} \frac{\partial u_1}{\partial t} + u_1 \frac{\partial u_1}{\partial x} + v_1 \frac{\partial u_1}{\partial y} + w_1 \frac{\partial u_1}{\partial z} &= -\frac{1}{\rho} \frac{\partial p^*}{\partial x} - (w_n)_x - (w_k)_x \\ \frac{\partial v_1}{\partial t} + u_1 \frac{\partial v_1}{\partial x} + v_1 \frac{\partial v_1}{\partial y} + w_1 \frac{\partial v_1}{\partial z} &= -\frac{1}{\rho} \frac{\partial p^*}{\partial y} - (w_n)_y - (w_k)_y \\ \frac{\partial w_1}{\partial t} + u_1 \frac{\partial w_1}{\partial x} + v_1 \frac{\partial w_1}{\partial y} + w_1 \frac{\partial w_1}{\partial z} &= -\frac{1}{\rho} \frac{\partial p^*}{\partial z} - (w_n)_z - (w_k)_z \end{aligned} \quad (6)$$

В этих уравнениях  $u_1, v_1$  и  $w_1$  — проекции на оси  $x, y, z$  вектора  $\mathbf{u}$  относительной скорости жидкости;  $(w_n)_x, (w_n)_y, (w_n)_z$  и  $(w_k)_x, (w_k)_y, (w_k)_z$  — соответственно проекции на те же оси векторов переносного и кориолисова ускорений.

Вследствие того, что рассматриваются только малые колебания волчка с жидкостью в его полости, будем считать в дальнейшем величины  $u_1, v_1, w_1$  и  $\omega_x, \omega_y$  малыми первого порядка, а  $\omega_z \approx \omega$ . При учете этого замечания не представляет труда показать [4], что проекции переносного ускорения на оси координат  $xyz$  будут иметь вид<sup>1</sup>

$$(w_n)_x = \frac{\partial S}{\partial x} + z\dot{\omega}_y, \quad (w_n)_y = \frac{\partial S}{\partial y} - z\dot{\omega}_x, \quad (w_n)_z = \frac{\partial S}{\partial z} + \dot{\omega}_x y - \dot{\omega}_y x \quad (7)$$

где

$$S = \omega z (x\omega_x + y\omega_y) - \omega^2 \frac{x^2 + y^2}{2} \quad (8)$$

Соответственно, проекции кориолисова ускорения на оси  $x, y, z$  могут быть представлены в виде

$$(w_k)_x = -2\omega v_1, \quad (w_k)_y = 2\omega u_1, \quad (w_k)_z = 0 \quad (9)$$

Подставим равенства (7) и (9) в систему уравнений (6). Эта система при учете замечания о малости величин  $u_1, v_1, w_1, \omega_x, \omega_y$  и их производных преобразуется к следующей

$$\begin{aligned} \frac{\partial u_1}{\partial t} - 2\omega v_1 &= -\frac{1}{\rho} \frac{\partial p_1}{\partial x} - 2z\dot{\omega}_y, & \frac{\partial w_1}{\partial t} &= -\frac{1}{\rho} \frac{\partial p_1}{\partial z} \\ \frac{\partial v_1}{\partial t} + 2\omega u_1 &= -\frac{1}{\rho} \frac{\partial p_1}{\partial y} + 2z\dot{\omega}_x, & & \end{aligned} \quad (10)$$

Здесь

$$p_1 = p^* + \rho S - \rho (\dot{\omega}_y x - \dot{\omega}_x y) z \quad (11)$$

Если к уравнениям движения (10) прибавим уравнение несжимаемости жидкости

$$\frac{\partial u_1}{\partial x} + \frac{\partial v_1}{\partial y} + \frac{\partial w_1}{\partial z} = 0 \quad (12)$$

а также граничное условие

$$u_1 \cos(n^\circ x) + v_1 \cos(n^\circ y) + w_1 \cos(n^\circ z) = 0 \quad (13)$$

(здесь  $n^\circ$  — нормаль к поверхности полости), то получим систему уравнений, описывающих движение жидкости в полости волчка.

<sup>1</sup> Заметим, что первые слагаемые в правых частях равенств (7) представляют собой проекции осестремительного ускорения, вторые — вращательного ускорения на оси координат, неизменно связанные с волчком.

3°. Решение системы уравнений (10) будем искать в виде

$$\begin{aligned} p_1 &= p(xyz) e^{i(\lambda_1 - \omega)t}, & v_1 &= v(xyz) e^{i(\lambda_1 - \omega)t} \\ u_1 &= u(xyz) e^{i(\lambda_1 - \omega)t}, & w_1 &= w(xyz) e^{i(\lambda_1 - \omega)t} \end{aligned} \quad (14)$$

Подставив величины (14) в систему уравнений (10), получим

$$\begin{aligned} i(\lambda_1 - \omega)u - 2\omega v &= -\frac{1}{\rho} \frac{\partial p}{\partial x} - 2z\Omega_y, & i(\lambda_1 - \omega)w &= -\frac{1}{\rho} \frac{\partial p}{\partial z} \\ 2\omega u + i(\lambda_1 - \omega)v &= -\frac{1}{\rho} \frac{\partial p}{\partial y} + 2z\Omega_x, \end{aligned} \quad (15)$$

Здесь величины  $\Omega_x$  и  $\Omega_y$  определяются соотношениями

$$\dot{\omega}_x = \Omega_x e^{i(\lambda_1 - \omega)t}, \quad \dot{\omega}_y = \Omega_y e^{i(\lambda_1 - \omega)t} \quad (16)$$

Уравнение несжимаемости (12) и граничное условие (13) преобразуются соответственно при учете равенств (14) к виду

$$\frac{\partial u}{\partial x} + \frac{\partial v}{\partial y} + \frac{\partial w}{\partial z} = 0 \quad (17)$$

$$u \cos n^\circ x + v \cos n^\circ y + w \cos n^\circ z = 0 \quad (18)$$

4°. Продифференцируем первое уравнение системы (15) по  $x$ , второе по  $y$ , а третье по  $z$  и сложим. Тогда, учитывая уравнение несжимаемости (17), получим

$$2\omega \left( \frac{\partial u}{\partial y} - \frac{\partial v}{\partial x} \right) = -\frac{1}{\rho} \nabla^2 p \quad \left( \nabla^2 = \frac{\partial^2}{\partial x^2} + \frac{\partial^2}{\partial y^2} + \frac{\partial^2}{\partial z^2} \right) \quad (19)$$

Продифференцируем далее первое уравнение системы (15) по  $y$ , второе по  $x$  и вычтем из первого уравнения второе. Будем иметь соотношение, которое при использовании уравнения несжимаемости (17), третьего уравнения системы (15) и равенства (19) преобразуется к виду

$$4\omega^2 \frac{\partial^2 p}{\partial z^2} - (\lambda_1 - \omega)^2 \nabla^2 p = 0 \quad (20)$$

Последнее уравнение заменой переменных

$$\tilde{z} = z \sqrt{\frac{(\lambda_1 - \omega)^2}{(\lambda_1 - \omega)^2 - 4\omega^2}} \quad (21)$$

приводится к уравнению Лапласа

$$\left( \frac{\partial^2}{\partial x^2} + \frac{\partial^2}{\partial y^2} + \frac{\partial^2}{\partial \tilde{z}^2} \right) p = 0 \quad (22)$$

5°. Для нахождения решения уравнения (22) в случае полости, имеющей форму эллипсоида вращения, воспользуемся эллипсоидальными координатами. Известно [5], что между эллипсоидальными и декартовыми координатами  $\mu, \xi^*, \psi$  и  $x, y, z$  имеет место следующая зависимость:

$$\begin{aligned} x &= k(1 - \mu^2)^{1/2}(\xi^{*2} - 1)^{1/2} \cos \psi, & \tilde{z} &= k\mu\xi^* \\ y &= k(1 - \mu^2)^{1/2}(\xi^{*2} - 1)^{1/2} \sin \psi, \end{aligned} \quad (23)$$

Выберем в рассматриваемом случае эллипсоидальные координаты так, чтобы уравнение поверхности эллипсоидальной полости, именно

$$\frac{x^2}{a^2} + \frac{y^2}{b^2} + \frac{\tilde{z}^2}{c^2} = 1 \quad \left( \kappa = \sqrt{\frac{(\lambda_1 - \omega)^2}{(\lambda_1 - \omega)^2 - 4\omega^2}} \right) \quad (24)$$

принадлежало софокусному семейству.

Пусть, например, при этом  $\xi^* = \xi_0$ ; тогда произвольные величины  $k$  и  $\xi_0$  в соотношениях (23) следует взять равными

$$k = cxe, \quad \xi_0 = \frac{1}{e}, \quad k = (\xi_0^2 - 1)^{1/2}a \quad \left( e = \sqrt{\frac{c^2\kappa^2 - a^2}{c^2\kappa^2}} \right) \quad (25)$$

Здесь  $e$  — эксцентрикитет эллипсоида вращения с полуосами  $a$  и  $c\kappa$ . Преобразуем уравнение (22) при использовании соотношений (23) к эллипсоидальным координатам. Тогда решение его можно представить в виде [6]

$$p = \sum_{n=0}^{\infty} \sum_{m=0}^{\infty} P_n^m(\xi^*) P_n^m(\mu) [A_n^m \cos m\psi + B_n^m \sin m\psi] \quad (26)$$

Здесь  $P_n^m(\xi^*)$ ,  $P_n^m(\mu)$  — присоединенные полиномы Лежандра;  $A_n^m$  и  $B_n^m$  — произвольные постоянные.

6°. Величины  $A_n^m$  и  $B_n^m$  определим из граничного условия (18), которое предварительно несколько преобразуем, заменив в нем на основании равенств (15) проекции  $u$ ,  $v$ ,  $w$  вектора относительной скорости жидкости в полости волчка их выражениями через давление  $p$ . Принимая во внимание уравнение эллипсоида (24), равенства (21) и (24), найдем косинусы углов между нормалью  $n^\circ$  к поверхности эллипсоида и осями  $x$ ,  $y$ ,  $z$ . Тогда при учете высказанных и соотношений (23), (24), (25), (26) граничное условие (18) преобразуется к следующему:

$$\begin{aligned} & \frac{c^2\kappa^2}{\rho i(\lambda_1 - \omega)} \sum_{n=0}^{\infty} \sum_{m=0}^{\infty} \frac{1 - \mu^2 c^2}{\xi^{*2} - \mu^2} \xi^* (\xi^{*2} - 1) \frac{dP_n^m(\xi^*)}{d\xi^*} P_n^m(\mu) (A_n^m \cos m\psi + \\ & + B_n^m \sin m\psi) + \frac{2\omega c^2}{\rho [4\omega^2 - (\lambda_1 - \omega)^2]} \sum_{n=0}^{\infty} \sum_{m=0}^{\infty} m P_n^m(\xi^*) P_n^m(\mu) (-A_n^m \sin m\psi + \\ & + B_n^m \cos m\psi) = \frac{c^2 k^2}{9\kappa [4\omega^2 - (\lambda_1 - \omega)^2]} \{ [4\omega\Omega_x - 2i(\lambda_1 - \omega)\Omega_y] \cos\psi + \\ & + [4\omega\Omega_y + 2i(\lambda_1 - \omega)\Omega_x] \sin\psi \} P_2^1(\xi^*) P_2^1(\mu) \end{aligned} \quad (27)$$

(при  $\xi^* = \xi_0$ ). Таким образом, из граничного условия (27) можно определить постоянные  $A_n^m$  и  $B_n^m$ . Подставляя эти постоянные в решение (26), определим давление  $p$ , а при учете соотношения (11) и первой формулы (14) — и величину  $p^*$  давления жидкости на стенку эллипсоидальной полости волчка. Далее следует найти величину момента давления жидкости на стенку полости. Замечательно, что в рассматриваемом случае его величина зависит лишь от коэффициентов  $A_2^1$  и  $B_2^1$ , то есть от единственного парциального движения. Доказательству этого посвящены три следующих параграфа.

7°. В дальнейшем нам необходимо будет определить величину  $M_x + iM_y$ . Для ее нахождения умножим второе равенство (5) на  $i$  и сложим с первым. Тогда, подставляя в полученное равенство выражение (11) для гидродинамического давления  $p^*$  и принимая во внимание, что в рассматриваемом случае имеют место равенства

$$\begin{aligned} \iiint_{\tau} y d\tau &= \iiint_{\tau} x d\tau = 0, \quad \iiint_{\tau} xy d\tau = \iiint_{\tau} zy d\tau = \iiint_{\tau} xz d\tau = 0 \\ \iiint_{\tau} p(z^2 - y^2) d\tau &= \iiint_{\tau} p(z^2 - x^2) d\tau = \frac{4}{15} \pi \rho a^2 c (c^2 - a^2) \end{aligned} \quad (28)$$

Выражение  $M_x + iM_y$  представим следующим образом:

$$\begin{aligned} M_x + iM_y = & \frac{4}{15} \pi a^2 c (c^2 - a^2) [-\omega \rho i (\omega_x + i\omega_y) + \rho (\dot{\omega}_x + i\dot{\omega}_y)] + \\ & + i \iiint_{\tau} \left[ z \left( \frac{\partial p_1}{\partial x} + i \frac{\partial p_1}{\partial y} \right) - (x + iy) \frac{\partial p_1}{\partial z} \right] d\tau \end{aligned} \quad (29)$$

Займемся теперь вычислением интеграла, который стоит в правой части равенства (29). Учитывая первое соотношение (14), решение (26) и производя при использовании равенств (23) замену переменных под знаком интеграла, будем иметь

$$\begin{aligned} & i \iiint_{\tau} \left[ z \left( \frac{\partial p_1}{\partial x} + i \frac{\partial p_1}{\partial y} \right) - (x + iy) \frac{\partial p_1}{\partial z} \right] d\tau = \\ & = \frac{k^3 i}{\omega^2} \int_{-1}^{1} \int_{-\infty}^{\infty} \int_{0}^{2\pi} \sum_{n=0}^{\infty} \sum_{m=0}^{\infty} \left\{ (1 - \mu^2)^{1/2} (\xi^{*2} - 1)^{1/2} \{ \mu [ -\xi^{*2} + \kappa^2 (\xi^{*2} - 1)] \times \right. \\ & \times \frac{dP_n^m(\xi^*)}{d\xi^*} P_n^m(\mu) + \xi^* [\mu^2 + \kappa^2 (1 - \mu^2)] \frac{\partial P_n^m(\mu)}{d\mu} P_n^m(\xi^*) \} (A_n^m \cos m\psi + \\ & + B_n^m \sin m\psi) - m i \mu \xi^* (1 - \mu^2)^{-1/2} (\xi^{*2} - 1)^{-1/2} P_n^m(\mu) P_n^m(\xi^*) (\xi^{*2} - \\ & \left. - \mu^2) (-A_n^m \sin m\psi + B_n^m \cos m\psi) \right\} (\cos \psi + i \sin \psi) e^{i(\lambda_1 - \omega)t} d\xi^* d\mu d\psi \end{aligned} \quad (30)$$

Используя соотношения между присоединенными полиномами Лежандра, равенства (25) и производя соответствующие выкладки, выражение (30) приведем к виду

$$\begin{aligned} & i \iiint_{\tau} \left[ z \left( \frac{\partial p_1}{\partial x} + i \frac{\partial p_1}{\partial y} \right) - (x + iy) \frac{\partial p_1}{\partial z} \right] d\tau = - \frac{12}{5} \frac{i \pi a^2 c \kappa}{h^2} (c^2 - a^2) (A_2^1 + iB_2^1) e^{i(\lambda_1 - \omega)t} \end{aligned} \quad (31)$$

Из последнего равенства следует, что для определения величины  $M_x + iM_y$  нет необходимости вычислять всю совокупность произвольных постоянных  $A_n^m$  и  $B_n^m$ ; достаточно определить постоянные  $A_2^1$  и  $B_2^1$ .

8°. Произвольные постоянные  $A_2^1$  и  $B_2^1$ , которые входят в состав равенства (31), определим из граничного условия (27). Умножим правую и левую его части на  $(\cos \psi + i \sin \psi) d\psi$  и проинтегрируем по переменному  $\psi$  в пределах от 0 до  $2\pi$ . После соответствующих преобразований в силу ортогональности функций  $\cos m\psi$  и  $\sin m\psi$  на сегменте  $[0, 2\pi]$  и учета соотношений (24) и (25), граничное условие (27) представим следующим образом:

$$\sum_{n=0}^{\infty} a_n P_n^1(\mu) (A_n^1 + iB_n^1) = b_2 P_2^1(\mu) \quad (32)$$

где

$$\begin{aligned} a_n = & \frac{c^2}{\rho i [4\omega^2 - (\lambda_1 - \omega)^2]} \left[ 2\omega P_n^1(\xi_0) - (\lambda_1 - \omega) \frac{\xi_0^2 - 1}{\xi_0} \frac{dP_n^1(\xi_0)}{d\xi^*} \right] \\ b = & \frac{2}{9} \frac{c^2 k^2}{\kappa (\lambda_1 + \omega)} (\Omega_x + i\Omega_y) P_2^1(\xi_0) \end{aligned} \quad (33)$$

Умножим теперь равенство (32) на  $P_2^1(\mu) d\mu$  и проинтегрируем его по переменному  $\mu$  в пределах от  $-1$  до  $+1$ . Используя условие ортогональности для присоединенных полиномов Лежандра и проводя

соответствующие выкладки, после учета равенств (24) и (25), получаем соотношение для определения произвольных постоянных  $A_2^1 + iB_2^1$ , а именно:

$$A_2^1 + iB_2^1 = \frac{2k^2c^2\rho i}{9\omega} \frac{(\lambda_1 - \omega)(\Omega_x + i\Omega_y)}{[(c^2 + a^2)(\lambda_1 - \omega) + 2a^2\omega]} \quad (34)$$

9°. Подставим выражения (31) и (34) в равенство (29) для определения величины  $M_x + iM_y$ ; будем иметь тогда при использовании формулы (16) окончательное его выражение

$$\begin{aligned} M_x + iM_y = & \frac{4}{15} \pi a^2 c (c^2 - a^2) [-\omega \rho i (\omega_x + i\omega_y) + \rho (\dot{\omega}_x + i\dot{\omega}_y)] - \\ & - \frac{8}{15} \pi \rho \frac{a^2 c^3 (c^2 - a^2) (\lambda_1 - \omega)}{(\lambda_1 - \omega) (c^2 + a^2) + 2a^2\omega} (\dot{\omega}_x + i\dot{\omega}_y) \end{aligned} \quad (35)$$

Уравнение движения (4) с учетом последнего равенства примет вид

$$\begin{aligned} A\ddot{\zeta}^* - H\dot{\zeta}^* - M_1 g l_1 \zeta^* = & -i \left\{ \frac{4}{15} \pi \rho a^2 c (c^2 - a^2) [-\omega i (\omega_x + i\omega_y) + \right. \\ & \left. + (\dot{\omega}_x + i\dot{\omega}_y)] - \frac{8}{15} \pi \rho \frac{a^2 c^3 (c^2 - a^2) (\lambda_1 - \omega)}{(\lambda_1 - \omega) (c^2 + a^2) + 2a^2\omega} (\dot{\omega}_x + i\dot{\omega}_y) \right\} e^{i\varphi} \end{aligned} \quad (36)$$

10°. Положение вращающегося волчка по отношению к неподвижной системе координат  $\xi, \eta, \zeta$  будем определять в дальнейшем тремя углами Эйлера — Крылова [2]. При использовании фиг. 3 нетрудно показать, что имеют место следующие соотношения для проекций  $\omega_x, \omega_y$  угловых скоростей системы координат  $x, y, z$  (неизменно связанной с телом) на ее же собственные оси

$$\begin{aligned} \omega_x &= \dot{\alpha} \cos \beta \cos \varphi + \dot{\beta} \sin \varphi \\ \omega_y &= -\dot{\alpha} \cos \beta \sin \varphi + \dot{\beta} \cos \varphi \end{aligned} \quad (37)$$

Умножим второе уравнение (37) на  $i = \sqrt{-1}$  и сложим с первым. Тогда, на основании предыдущего, принимая во внимание малость угла  $\beta$ , получим

$$\omega_x + i\omega_y = (\dot{\alpha} + i\dot{\beta}) e^{-i\varphi} \quad (38)$$

Найдем зависимость между углами  $\alpha, \beta$  и величинами  $\xi$  и  $\eta$ . Как уже упоминалось выше,  $\xi$  и  $\eta$  — координаты точки  $G$  — пересечения вектора собственного кинетического момента волчка  $H$ , направленного по оси  $z$ , с плоскостью  $\xi \eta$  (фиг. 1). Легко видеть, что проекции точки  $G$  на оси координат  $\xi, \eta, \zeta$  при учете малости углов  $\alpha$  и  $\beta$  следующие:

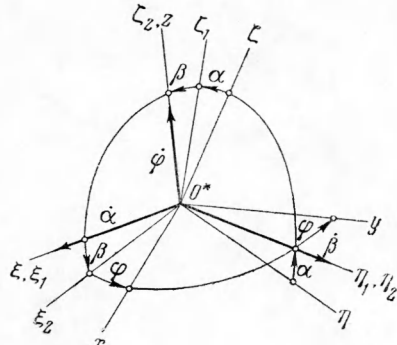
$$\xi = \beta, \quad \eta = -\alpha, \quad \zeta = 1 \quad (39)$$

Принимая во внимание соотношения (38), (39), а также введенные ранее обозначения  $\zeta^* = \xi + i\eta$  и  $\varphi = \omega t$ , находим, что

$$\omega_x + i\omega_y = i\dot{\zeta}^* e^{-i\varphi}, \quad \dot{\omega}_x + i\dot{\omega}_y = (i\dot{\zeta}^* + \omega\dot{\zeta}^*) e^{-i\varphi} \quad (40)$$

При использовании последних равенств и проведении соответствующих преобразований уравнение движения (36) приобретает вид

$$\begin{aligned} (A + k^* \eta^*) \ddot{\zeta}^* - [C + (A + k^*) \eta^*] i\omega \dot{\zeta}^* - \\ - \left[ \frac{M_1 g l_1}{\omega^2} + C \eta^* + k^* (1 - \eta^*) \right] \omega^2 \dot{\zeta}^* + iM_1 g l_1 \omega \eta^* \zeta^* = 0 \end{aligned} \quad (41)$$



Фиг. 3

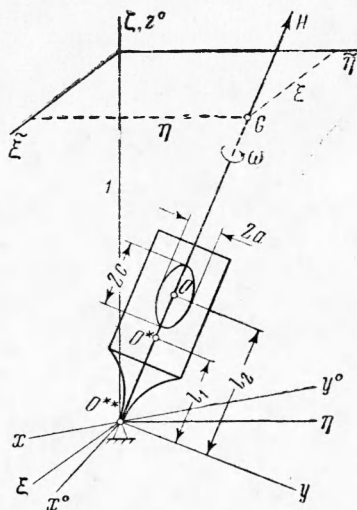
где

$$\eta^* = \frac{c^2 - a^2}{c^2 + a^2}, \quad k^* = \frac{4}{15} \pi \rho a^2 c (c^2 - a^2) \quad (42)$$

11°. Для простоты выкладок в изложенной выше задаче в качестве неподвижной точки волчка был выбран центр эллипсоидальной полости. Не представляет труда показать, что в случае, когда неподвижной точкой волчка (фиг. 4) является точка  $O^{**}$ , уравнение его движения будет следующим:

$$(A^* + k^* \eta^*) \ddot{\zeta}^* - [C + (A^* + k^*) \eta^*] i \omega \dot{\zeta}^* - \left[ \frac{K}{\omega^2} + C \eta^* + k^* (1 - \eta^*) \right] \omega^2 \dot{\zeta}^* + K i \omega \eta^* \zeta^* = 0 \quad (A^* = A + M_2 l_2^2, K = g (M_1 l_1 + M_2 l_2)) \quad (43)$$

Здесь  $M_2$  — масса жидкости внутри эллипсоидальной полости;  $l_2$  — расстояние от неподвижной точки волчка до центра эллипсоидальной полости.



Фиг. 4

довольно простой вид, именно

$$4b_0 v^3 - [b^* - 27b_0^2 b_3^2] v^2 - [b_2(b_1^2 + b^*) - 4b_1^3 b_3] v - b_2^2 (b_1^2 - 4b_0 b_2) < 0$$

Здесь введены следующие обозначения

$$\begin{aligned} b_0 &= A + M_2 l_2^2 + k^* \eta^*, & b_1 &= C + [A + M_2 l_2^2 + k^*] \eta^* \\ b_2 &= (C - k^*) \eta^* + k^* \\ b_3 &= \eta^*, \quad b^* = b_1^2 + 18b_0 b_1 b_3 - 12b_0 b_2, \quad v = \frac{g}{\omega^2} (M_1 l_1 + M_2 l_2) \end{aligned} \quad (47)$$

<sup>1</sup> Уравнение движения волчка (43) отнесено к неподвижной системе координат  $\xi, \eta, \zeta$ . Для сопоставления полученных результатов с решением С. Л. Соболева [1] преобразуем это уравнение к системе координат  $x^*, y^*, z^*$ , не связанной с телом (фиг. 4). Начало этой системы совпадает с центром неподвижной системы  $\xi, \eta, \zeta$ , ось  $z^*$  — с осью  $\zeta$ . Оси  $x^*$  и  $y^*$  расположены в горизонтальной плоскости и вращаются вокруг оси  $z^*$  с угловой скоростью  $\omega$ . В этом случае характеристическое уравнение (45) преобразуется к виду

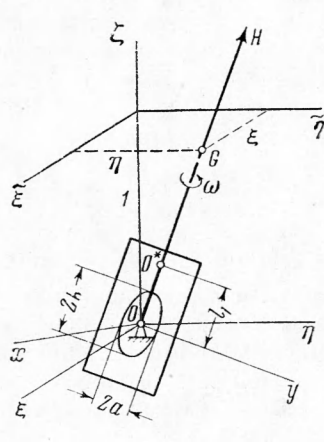
$$\begin{aligned} &[(c^2 + a^2) \lambda + 2a^2 \omega] \left\{ \left[ A^* + \frac{4}{15} \pi \rho a^2 c \frac{(c^2 - a^2)^2}{c^2 + a^2} \right] \lambda^2 - \omega \left[ (C - 2A^*) - \right. \right. \\ &\left. \left. - \frac{8}{15} \pi \rho a^2 c^3 \frac{(c^2 - a^2)^2}{(c^2 + a^2)^2} \right] \lambda - \left[ (C - A^*) - \frac{M_1 l_1 + M_2 l_2}{\omega^2} g - \frac{4}{15} \pi \rho a^2 c (c^2 - a^2) \right] \omega^2 \right\} - \\ &- \frac{16}{15} \pi \rho \frac{a^4 c^3 (c^2 - a^2)^2}{(c^2 + a^2)^2} \omega^2 \lambda = 0 \end{aligned}$$

Последнее уравнение с точностью до обозначений полностью совпадает с характеристическим уравнением, полученным С. Л. Соболевым в упомянутой выше работе [1].

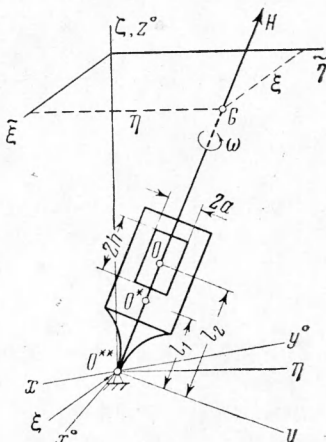
*Числовой пример.* Рассмотрим модель, параметры которой определяются следующими величинами

$$A^* = A_1 + M_1 l_1^2 + M_2 l_2^2 = 34.8 \text{ г см сек}^2, \quad C = 5.26 \text{ г см сек}^2, \quad l_1 = 4.9 \text{ см}, \\ l_2 = 6.65 \text{ см}, \quad M_2 g = 30 \text{ г}, \quad M_1 g = 940 \text{ г}, \quad a = 1.6 \text{ см}, \quad c = 2.75 \text{ см}, \quad g = 9.81 \text{ м/сек}^2.$$

При использовании критерия устойчивости (46) и равенств (47) находим, что критическое значение угловой скорости  $\omega_*$  равно в рассматриваемом случае 1480 об/мин. При числе оборотов вращения волчка, меньшем, чем  $\omega_*$ , движение его неустойчиво<sup>1</sup>.



Фиг. 5



Фиг. 6

13°. Займемся теперь рассмотрением движения волчка, внутри которого имеется полость в форме прямого кругового цилиндра радиуса  $a$  и высоты  $2h$ , целиком заполненная идеальной жидкостью (фиг. 5). В дальнейшем будем предполагать, что центр тяжести волчка с жидкостью внутри полости расположен в точке  $O^*$ , в то время как неподвижная точка его  $O$  совпадает с центром полости.

Как было показано ранее, уравнения (10), (12) и (13) полностью описывают движение жидкости в полости волчка. Поэтому займемся решением этих уравнений для рассматриваемой формы полости. Для этого обратимся вначале к определению выражения  $p$  из уравнения (20), которое в рассматриваемом случае удобнее иметь в цилиндрических координатах  $r$ ,  $\theta$  и  $z$ , именно

$$4\omega^2 \frac{\partial^2 p}{\partial z^2} - (\lambda_1 - \omega)^2 \left( \frac{\partial^2}{\partial r^2} + \frac{1}{r} \frac{\partial}{\partial r} + \frac{1}{r^2} \frac{\partial^2}{\partial \theta^2} + \frac{\partial^2}{\partial z^2} \right) p = 0 \quad (48)$$

14°. Решение уравнения (48), ограниченное при  $r = 0$  и удовлетворяющее граничному условию на торцах полости, естественно искать в виде [5]

$$p = \sum_{l=0}^{\infty} \sum_{m=0}^{\infty} J_m(kr) \sin \frac{(2l+1)\pi}{2h} z (A_l m \cos m\theta + B_l m \sin m\theta) \quad (49)$$

где  $A_l m$  и  $B_l m$  — произвольные постоянные,  $J_m(kr)$  — функция Бесселя, а для величины  $k$  имеет место соотношение

$$k^2 = \frac{(2l+1)^2 \pi^2}{(2h)^2} \frac{4\omega^2 - (\lambda_1 - \omega)^2}{(\lambda_1 - \omega)^2} \quad (50)$$

<sup>1</sup> Заметим, что экспериментальные исследования устойчивости движения рассматриваемого волчка показали, что результаты теории и опыта совпадают достаточно удовлетворительно [7].

15°. Упомянутые выше произвольные постоянные  $A_l^m$  и  $B_l^m$  определим из граничного условия (18). На боковой поверхности цилиндра это условие будет следующим:

$$u \cos \theta + v \sin \theta = 0 \quad (51)$$

Не представляет труда показать, что вследствие выбора решения для  $p$  в форме (49) на торцах полости граничное условие (18) удовлетворяется тождественно.

Обратимся теперь к преобразованию граничного условия (51). Для удобства дальнейших рассуждений запишем это условие в цилиндрических координатах, предварительно подставив в него значения  $u$  и  $v$ , определенные из первых двух равенств (15). Тогда при использовании равенства (49) и проведении соответствующих выкладок получим

$$\begin{aligned} & \sum_{l=0}^{\infty} \sum_{m=0}^{\infty} \left\{ i(\lambda_1 - \omega) k J_m'(ka) [A_l^m \cos m\theta + B_l^m \sin m\theta] + \right. \\ & \left. + \frac{2\omega}{a} m J_m(ka) [-A_l^m \sin m\theta + B_l^m \cos m\theta] \right\} \sin \frac{(2l+1)\pi}{2h} z = \\ & = 2zp \{2\omega (\Omega_x \cos \theta + \Omega_y \sin \theta) - i(\lambda_1 - \omega) (\Omega_y \cos \theta - \Omega_x \sin \theta)\} \end{aligned} \quad (52)$$

Из последнего соотношения можно определить произвольные постоянные  $A_l^m$  и  $B_l^m$ , которые входят в состав решения (49). Зная же величину давления  $p$ , можно тем самым вычислить момент давления жидкости на стенку цилиндрической полости волчка, а следовательно, и интересующее нас выражение  $M_x + iM_y$ , которое стоит в правой части исследуемого уравнения (4).

16°. Обратимся теперь непосредственно к вычислению упомянутого выше выражения  $M_x + iM_y$ .

Проводя выкладки, аналогичные тем, которые были сделаны при вычислении выражения (29) для эллипсоидальной полости, в рассматриваемом случае имеем для  $M_x + iM_y$  следующее соотношение:

$$\begin{aligned} M_x + iM_y = & (A_2 - C_2) [-i\omega (\omega_x + i\omega_y) + (\dot{\omega}_x + i\dot{\omega}_y)] + \\ & + i \iiint_{\tau} \left[ z \left( \frac{\partial p_1}{\partial x} + i \frac{\partial p_1}{\partial y} \right) - (x + iy) \frac{\partial p_1}{\partial z} \right] d\tau \end{aligned} \quad (53)$$

где

$$\iiint_{\tau} \rho (z^2 - y^2) d\tau = \iiint_{\tau} \rho (z^2 - x^2) = A_2 - C_2 \quad (54)$$

Преобразуем равенство (53) к цилиндрическим координатам, учтем первое равенство (14) и соотношение (49). Тогда после несложных преобразований и, воспользовавшись ортогональностью функций  $\sin m\theta$  и  $\cos m\theta$  на сегменте  $[0, 2\pi]$ , получим для  $M_x + iM_y$  выражение

$$\begin{aligned} M_x + iM_y = & (A_2 - C_2) [-i\omega (\omega_x + i\omega_y) + (\dot{\omega}_x + i\dot{\omega}_y)] + \\ & + e^{i(\lambda_1 - \omega)t} \sum_{l=0}^{\infty} \frac{(-1)^l 2\pi ai}{k^2 (\lambda_1 - \omega)^2} \{ [4\omega^2 - 3(\lambda_1 - \omega)^2] J_1(ka) + \\ & + ka(\lambda_1 - \omega)^2 J_0(ka) \} (A_l^1 + iB_l^1) \end{aligned} \quad (55)$$

Таким образом, из совокупности произвольных постоянных  $A_l^m + iB_l^m$  для определения интересующего нас выражения  $M_x + iM_y$  надо знать только те постоянные, у которых индекс  $m = 1$ .

17°. Выражение  $A_l^1 + iB_l^1$ , которое входит в состав равенства (55), определим из полученного ранее граничного условия (52). Для этого умножим правую и левую части этого условия на  $e^{i\theta} \sin [(2l+1)\pi z/2h] d\theta dz$  и проинтегрируем их по переменному  $z$  в пределах от  $-h$  до  $h$ , а по переменному  $\theta$  — в пределах от  $0$  до  $2\pi$ .

В силу ортогональности функции  $\sin[(2l+1)\pi z/2h]z$  на сегменте  $[-h, h]$  и функций  $\sin m\theta$  и  $\cos m\theta$  соответственно на сегменте  $[0, 2\pi]$  после соответствующих выкладок будем иметь для  $A_l^1 + iB_l^1$  следующее равенство:

$$A_l^1 + iB_l^1 = \frac{(-1)^l 16\rho h a i}{(2l+1)^2 \pi^2} \frac{(\lambda_1 - 3\omega)(\Omega_x + i\Omega_y)}{(\lambda_1 - \omega)ka J_1'(ka) - 2\omega J_1(ka)} \quad (56)$$

18°. Подставим теперь равенство (55) в уравнение движения (4) и учтем при этом соотношения (16), (40) и (56). Будем иметь тогда

$$(A - A_2 + C_2) \ddot{\xi}^* - \omega i [C - 2(A_2 - C_2)] \dot{\zeta}^* - M_1 g l_1 \zeta^* - \frac{128a^2 h^3 \rho}{\pi^3 [2\omega + (\lambda_1 - \omega)]} \times \\ \times (\dot{\xi}^* - i\omega \zeta^*) \sum_{l=0}^{\infty} \frac{1}{(2l+1)^4} \frac{ka(\lambda_1 - \omega)^2 J_0(ka) + [4\omega^2 - 3(\lambda_1 - \omega)^2] J_1(ka)}{ka(\lambda_1 - \omega) J_0(ka) - [2\omega + (\lambda_1 - \omega)] J_1(ka)} \quad (57)$$

19°. Как и в случае эллипсоидальной полости, решение уравнения (57) будем искать в виде (44). Характеристическое уравнение в рассматриваемом случае преобразуется к следующему:

$$(A - A_2 + C_2) \lambda^2 - \omega [C - 2(A_2 - C_2)] \lambda + M_1 g l_1 = \\ = \frac{128\rho a^2 h^3 \lambda_1 (\lambda_1 - \omega)}{\pi^3 [2\omega + (\lambda_1 - \omega)]} \sum_{l=0}^{\infty} \frac{1}{(2l+1)^4} \frac{ka(\lambda_1 - \omega)^2 J_0(ka) + [4\omega^2 - 3(\lambda_1 - \omega)^2] J_1(ka)}{ka(\lambda_1 - \omega) J_0(ka) - [2\omega + (\lambda_1 - \omega)] J_1(ka)} \quad (58)$$

20°. Уравнение движения (57) отнесено к неподвижной системе координат  $\xi, \eta, \zeta$ , причем при его выводе предполагалось, что неподвижной точкой исследуемого волчка является центр его полости (фиг. 5). Преобразуем это уравнение к системе координат  $x^\circ, y^\circ, z^\circ$  (см. примечание на стр. 72) и примем, кроме того, в качестве неподвижной точки волчка точку  $O^{**}$  (фиг. 6). Тогда на основании вышеизложенного нетрудно показать, что вместо характеристического уравнения (58) будет иметь место следующее характеристическое уравнение:

$$(A^* + C_2 - A_2) \lambda^2 - \omega (C - 2A^*) \lambda - L\omega^2 = \\ = \frac{128h^3 \rho a^2 \lambda (\lambda + \omega)}{\pi^3} \sum_{l=0}^{\infty} \frac{1}{(2l+1)^4} \frac{\lambda^2 ka J_0(ka) - (3\lambda^2 - 4\omega^2) J_1(ka)}{\lambda ka J_0(ka) - (\lambda + 2\omega) J_1(ka)} \quad (59)$$

где

$$L = C - A^* - A_2 + C_2 - \frac{(M_1 l_1 + M_2 l_2) g}{\omega^2} \quad (60)$$

Это уравнение с точностью до обозначений полностью совпадает с характеристическим уравнением, полученным С. Л. Соболевым. Поэтому для дальнейшего изучения малых колебаний вращающегося волчка с цилиндрической полостью, целиком заполненной идеальной жидкостью, следует обратиться непосредственно к исследованиям С. Л. Соболева [1].

Институт математики АН УССР

Поступила  
10 X 1959

#### ЛИТЕРАТУРА

1. Соболев С. Л. О движении симметричного волчка с полостью, заполненной жидкостью. Рукопись. Фонды Матем. ин-та им. В. А. Стеклова АН СССР, 1945.
2. Ильинский А. Ю. Механика специальных гирокопических систем. Изд-во АН УССР, 1952.
3. Кочин Н. Е., Кибель И. А., Розе Н. Б. Теоретическая гидромехника, т. I. ГИТТЛ, 1948.
4. Суслов Г. К. Теоретическая механика. Гостехиздат, 1946.
5. Ламб Г. Гидродинамика. ОГИЗ — Гостехиздат, 1947.
6. Гобсон Е. В. Теория сферических и эллипсоидальных функций. ИИЛ, М., 1952.
7. Малашенко С. В., Темченко М. Е. Об одном методе экспериментального исследования устойчивости движения волчка, внутри которого имеется полость, заполненная жидкостью. В этом выпуске, стр. 76.